

日本物理学会 2010年 秋季大会
九州工業大学

LHC-ATLAS 実験における
 $W+jets$ 事象の研究

2010年9月14日 (火)

林 隆康、金 信弘、原 和彦

筑波大数理

Introduction
MC サンプル
事象選択
QCD normalization
分布の比較

Introduction

$W(\rightarrow e \nu) + N \text{ jets}$ 事象の motivation

- Higgs, SUSY, Top などのバックグラウンドとして重要
- 標準模型のテスト
 - $pQCD$
 - 理論 (LO/NLO) の予測を検証
 - PDF
- 検出器の理解
 - 多重ジェット下でのレフトン, missing ET の再構成
 - ジェット再構成

重心系エネルギー 7 TeV、積分ルミノシティ 315.4 nb⁻¹ のデータを用いて、 $W(\rightarrow e \nu) + N \text{ jets}$ 事象についてデータとMCシミュレーションの比較を行った。

MC シミュレーションサンプル

- MCシミュレーションサンプル (full simulation)
 - シグナル：
 - $W(\rightarrow enu) + N \text{ partons (jets)} [N=0, 1, 2, 3, 4, 5]$ (Alpgen)
 - バックグラウンド：
 - $W(\rightarrow taunu) + N \text{ partons (jets)} [N=0, 1, 2, 3, 4, 5]$ (Alpgen)
 - $Z(\rightarrow ee) + N \text{ partons (jets)} [N=0, 1, 2, 3, 4, 5]$ (Alpgen)
 - QCD (Pythia)
 - ttbar (PowHeg)

MC Sample	Cross section (nb ⁻¹)
AlpgenWenuNp0	6.8705
AlpgenWenuNp1	1.2930
AlpgenWenuNp2	0.37660
AlpgenWenuNp3	0.10129
AlpgenWenuNp4	0.025246
AlpgenWenuNp5	0.0071239

MC Sample	Cross section (nb ⁻¹)	Filter Efficiency
AlpgenWtaunuNp0	6.8733	
AlpgenWtaunuNp1	1.2952	
AlpgenWtaunuNp2	0.37507	
AlpgenWtaunuNp3	0.10177	
AlpgenWtaunuNp4	0.025756	
AlpgenWtaunuNp5	0.0079916	
AlpgenZeeNp0	0.66410	
AlpgenZeeNp1	0.13299	
AlpgenZeeNp2	0.040226	
AlpgenZeeNp3	0.011138	
AlpgenZeeNp4	0.0028925	
AlpgenZeeNp5	0.00075343	
Pythia JF17	1147200	0.085170
PoHegTTbar	0.14581	0.54261

事象選択

- $>= 1$ Primary Vertex with $>= 3$ tracks & $|Z_{\text{vtx}}| < 150$ mm

Wの選択

- Electron
 - Trigger : L1_EM14
 - $|\text{Eta}_{\text{cluster}}| < 2.47$ (crack 領域 $1.37 - 1.52$ は除外)
 - $\text{ET}_{\text{cluster}} > 20$ GeV
- Tightな選択によるElectron数 = 1
(Z-vetoのため)
- missing ET > 25 GeV
- $W \text{ M}_T > 40$ GeV

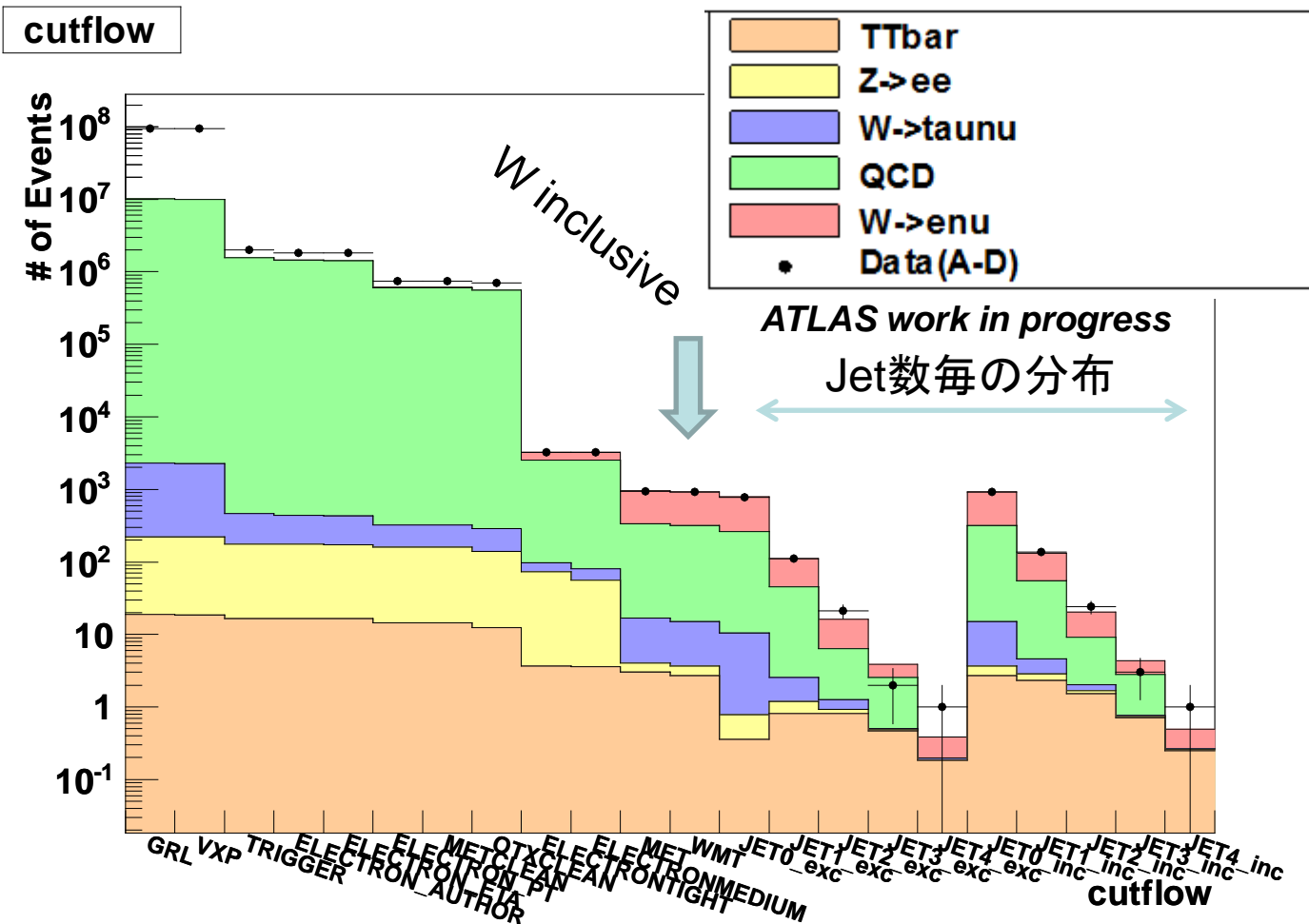
JETの選択

- AntiKt4H1TopoJets
- $|\text{eta}| < 2.8$
- $p_T > 20$ GeV/c
- Jet energy : ($\text{EM scale jet energy} \times \text{jet energy scale}$)

Cut Flow (Cutの詳細は省略)

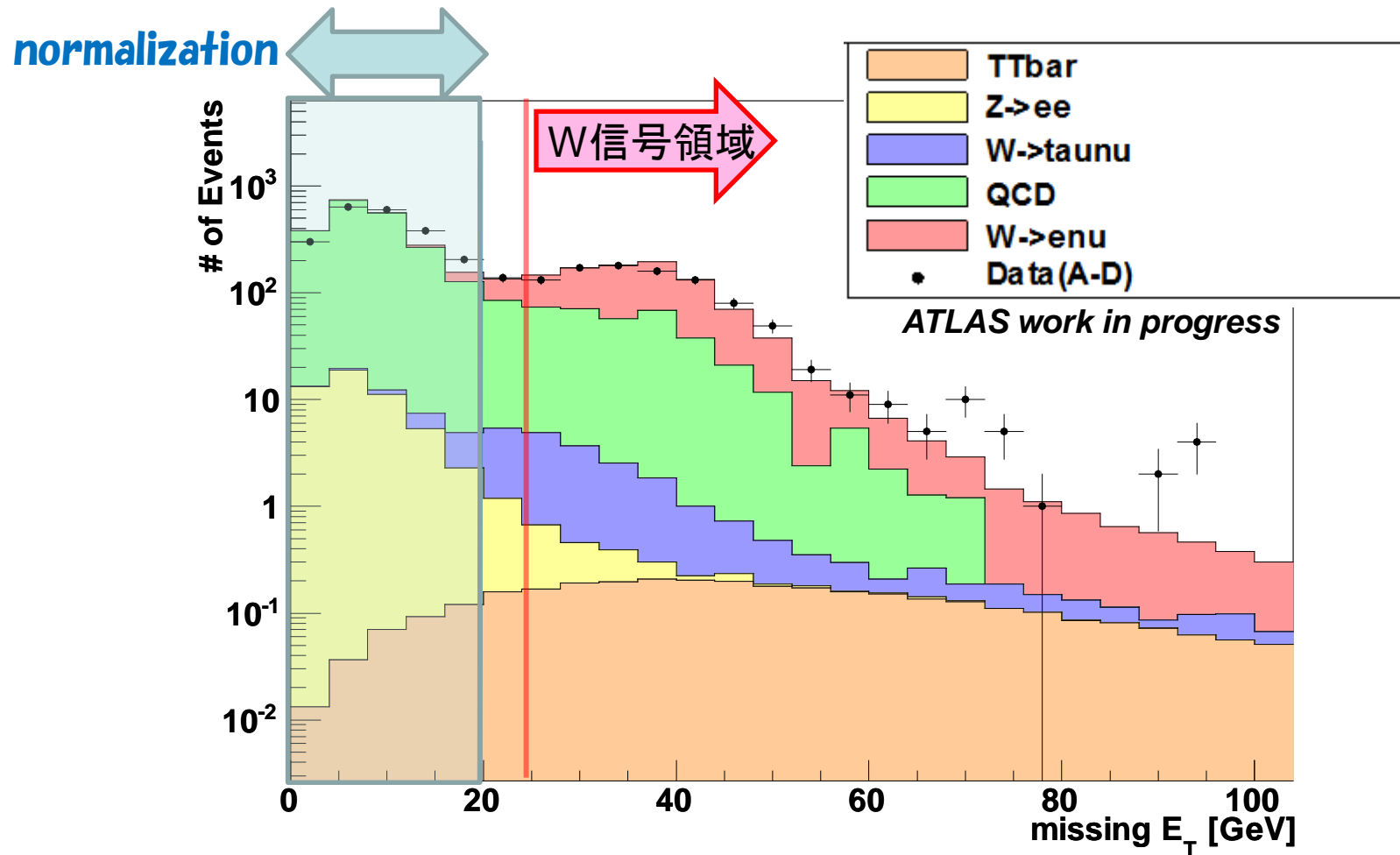
MC は積分ルミ/シティで規格化

QCD MC サンプルは missing ET 分布を用いて規格化(次頁)



QCD Normalization

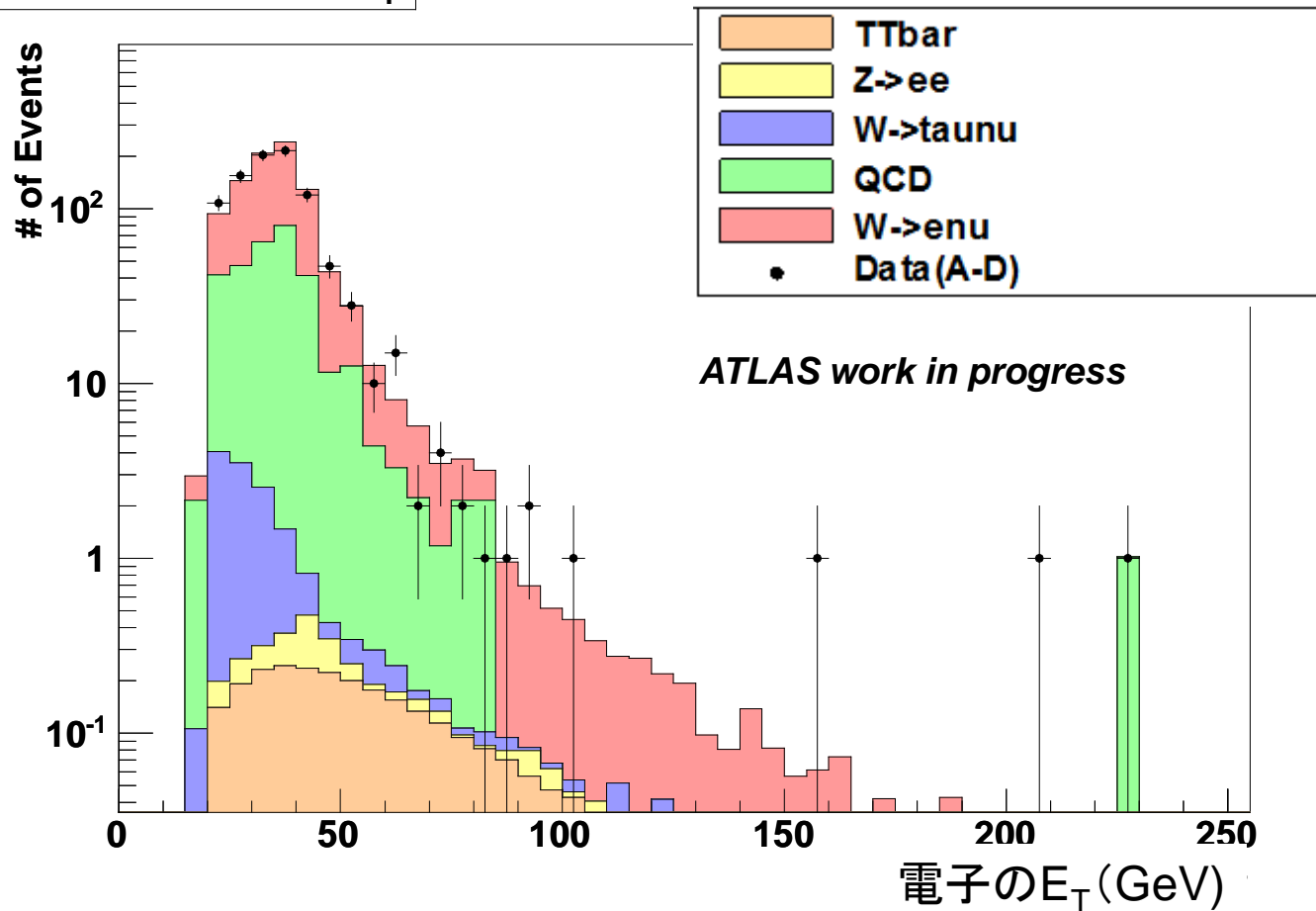
- QCD が支配的な、 $\text{missing } E_T < 20 \text{ GeV}$ の事象数で QCD シミュレーションサンプルを規格化
- W 信号領域での missing ET 分布は、データと MC でほぼ一致



Electron p_T

W選択を通過した事象の電子候補の E_T 分布
良く一致している。

Electron cluster E_T



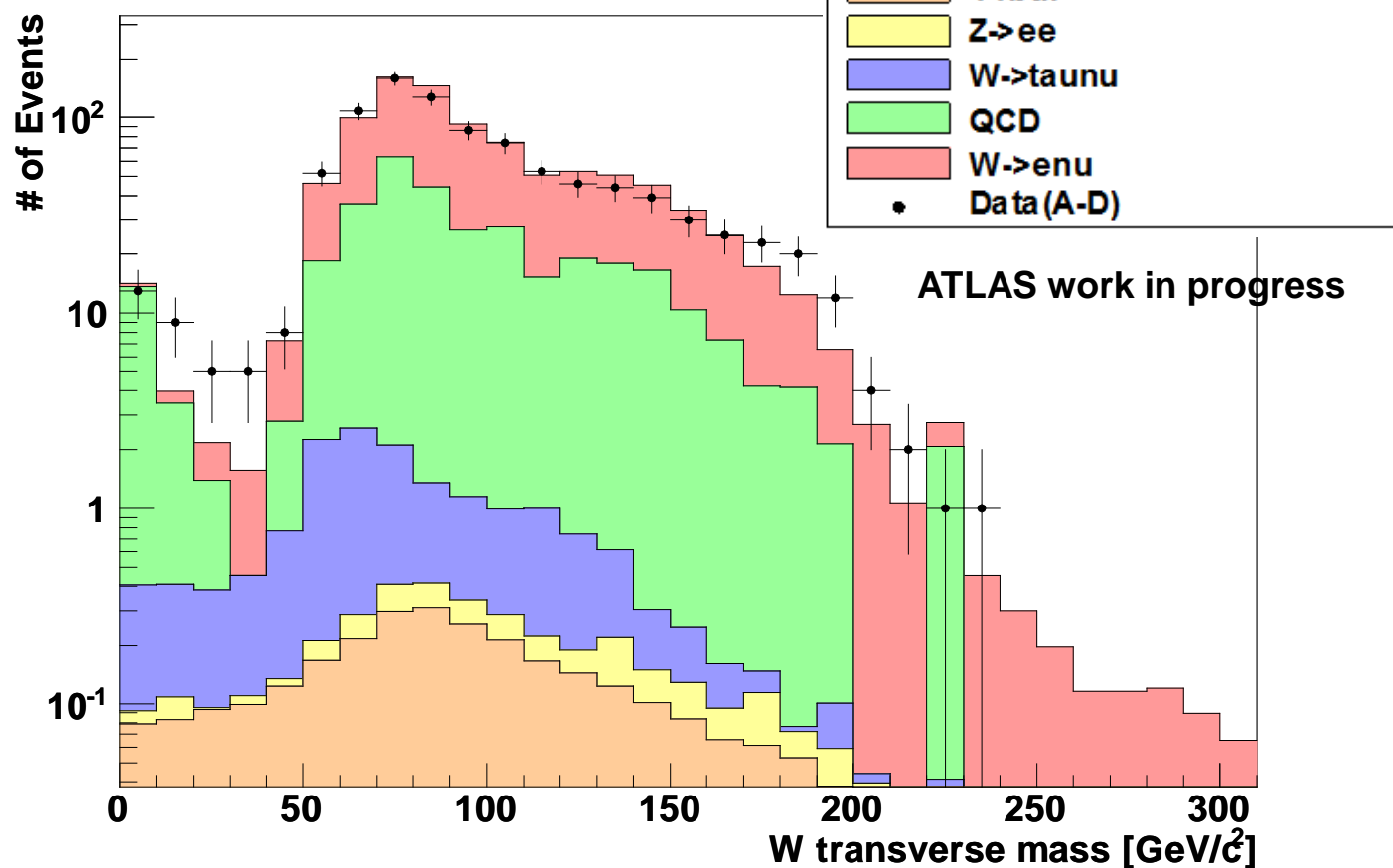
$M_T(W)$ 分布

$W \otimes$ transverse mass

$$(m_T^W)^2 = (E_T^e + E_T^{\text{miss}})^2 - (p_T^e + p_T^{\text{miss}})^2$$

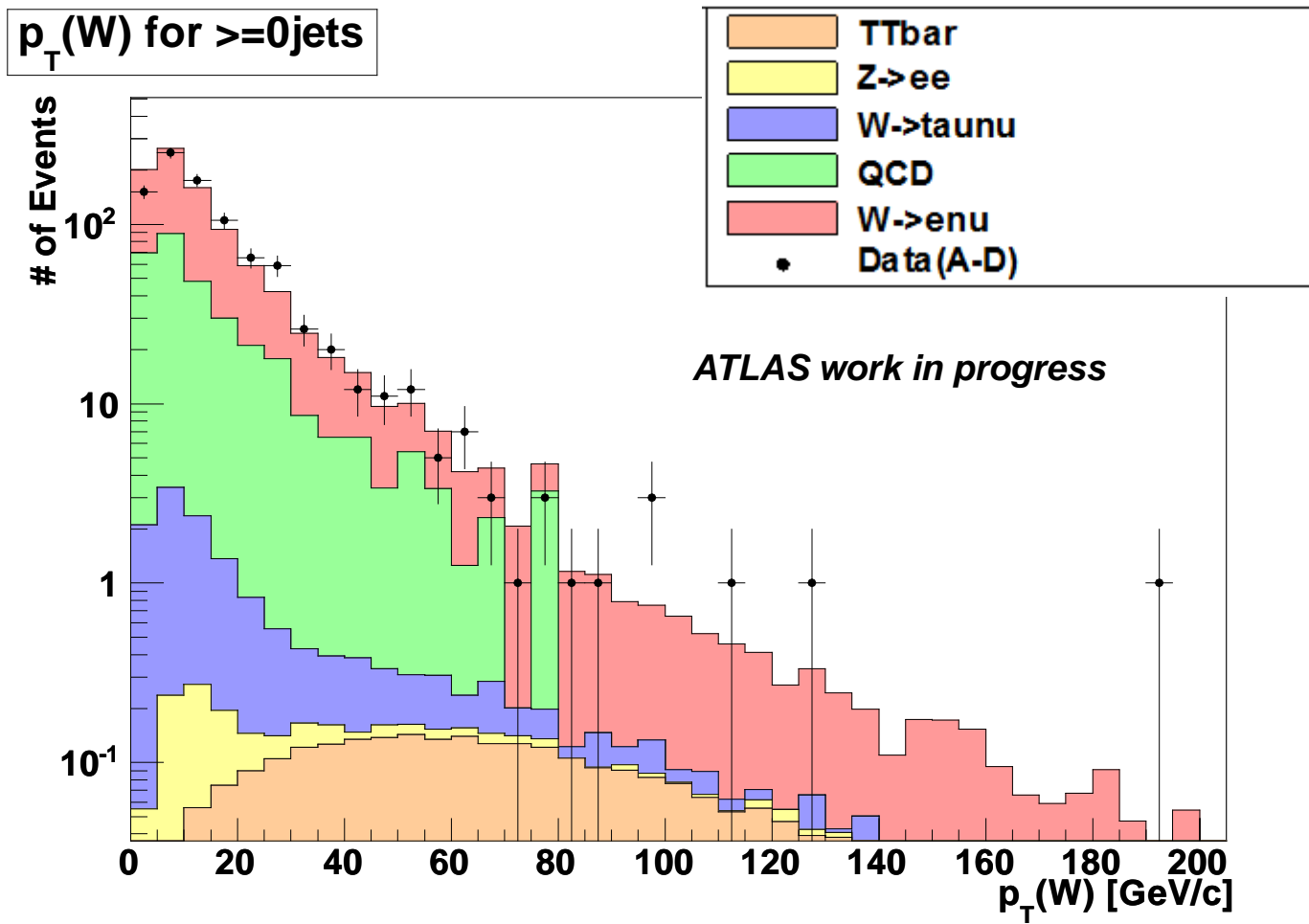
$$\simeq 2p_T^e p_T^{\text{miss}} (1 - \cos(\Delta\phi_{e,\text{miss}}))$$

WM_T



$M_T > 40 \text{ GeV}/c^2$ で良く一致

$p_T(W)$ 分布

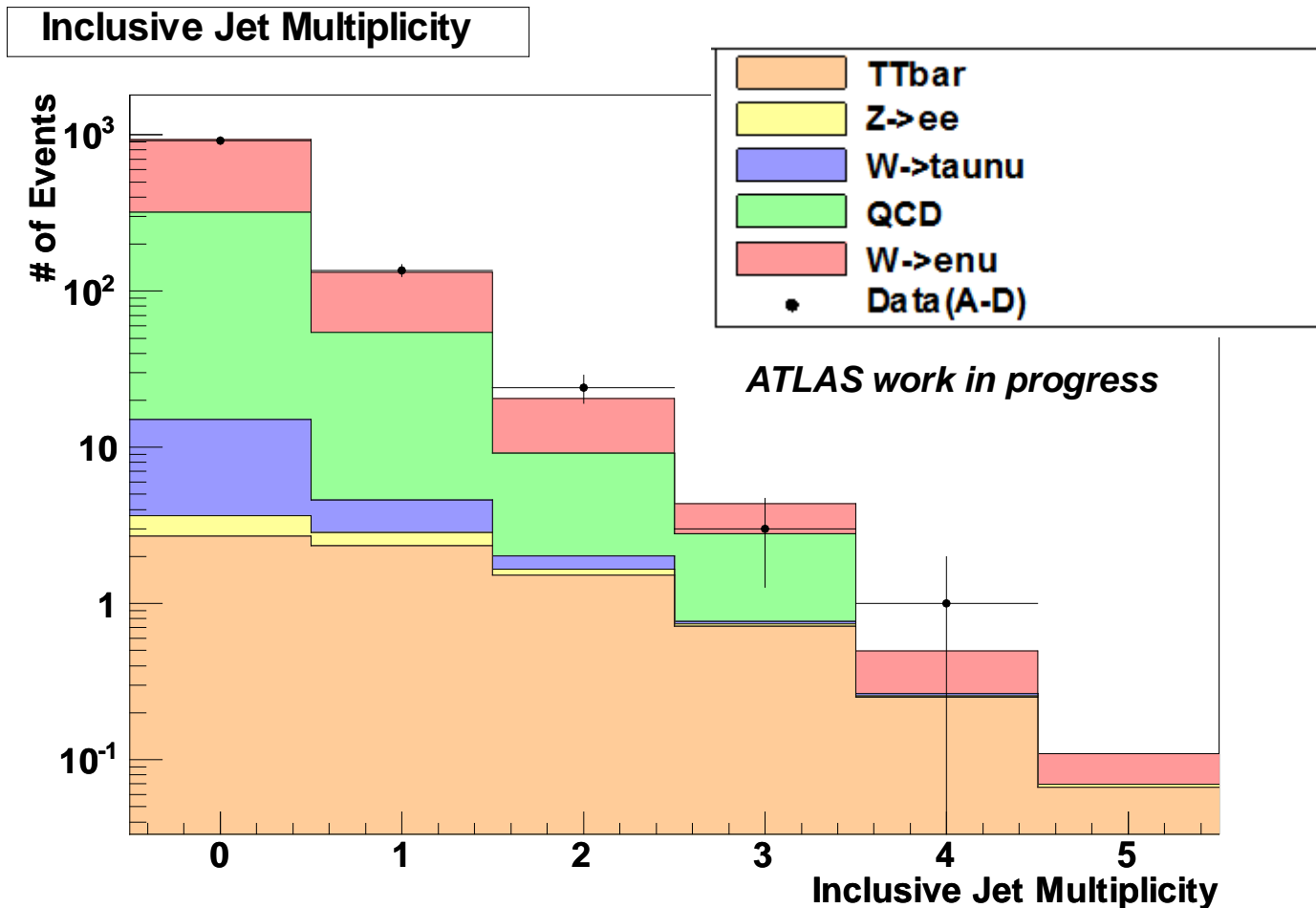


W の transverse momentumも良く一致

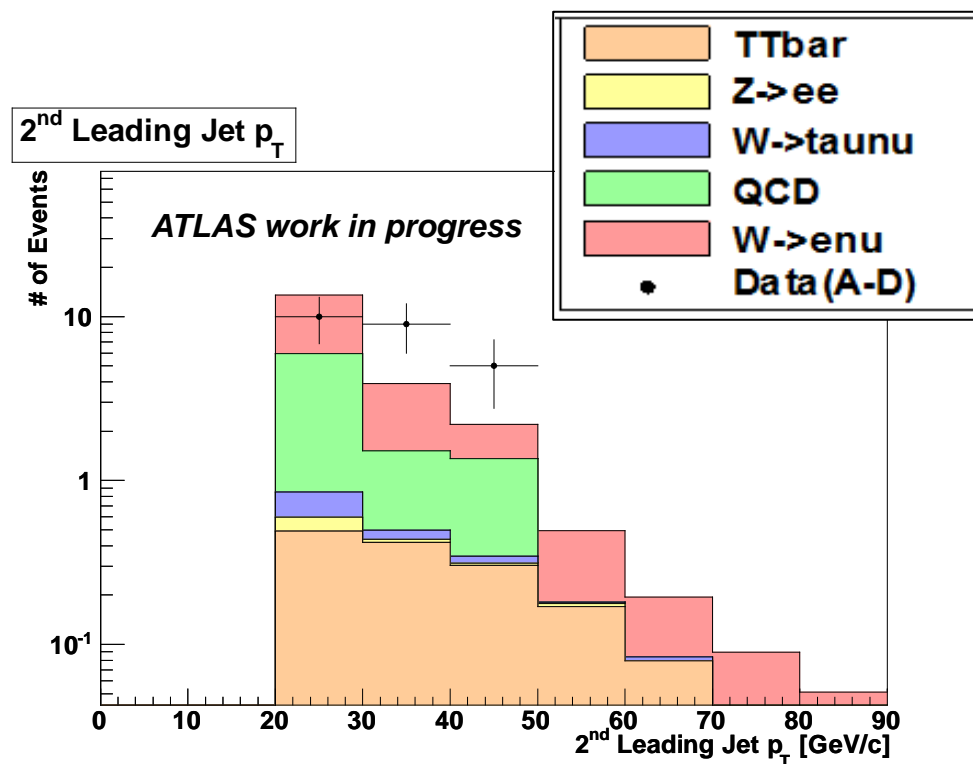
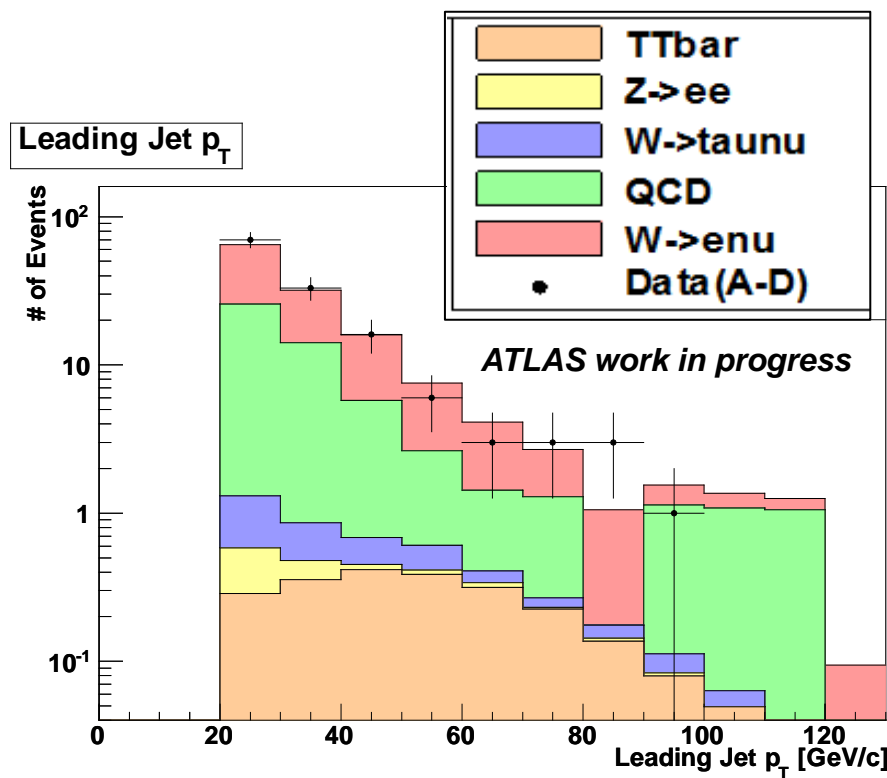
Jet数 ($>20\text{GeV}/c$) 分布

ジェット数分布 (inclusive)

よく一致している。



Jet p_T 分布

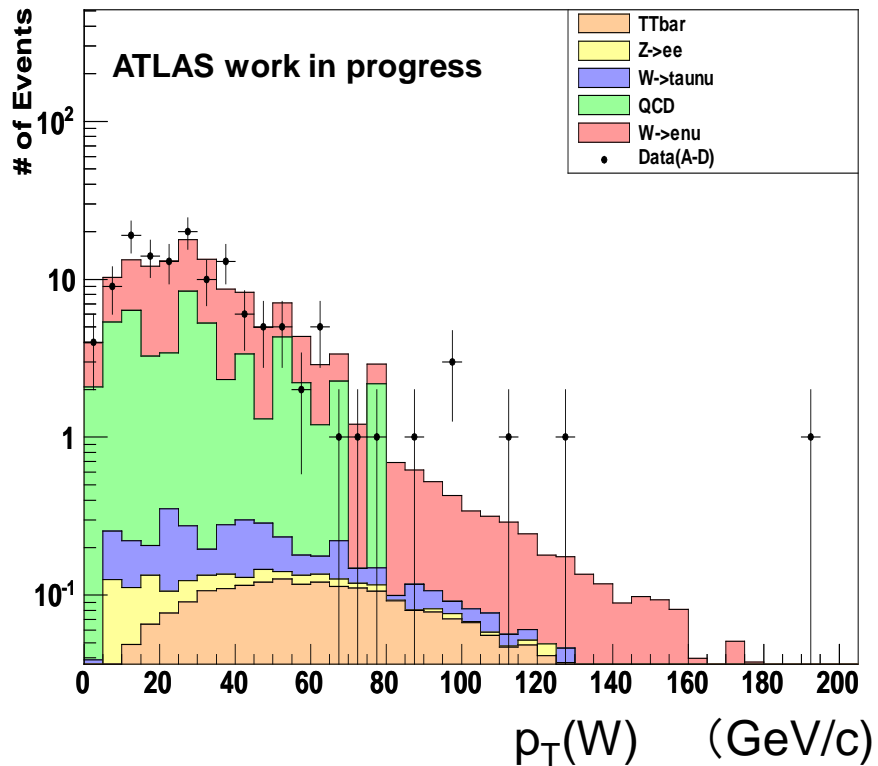


leading jet の p_T 分布は良く一致している。

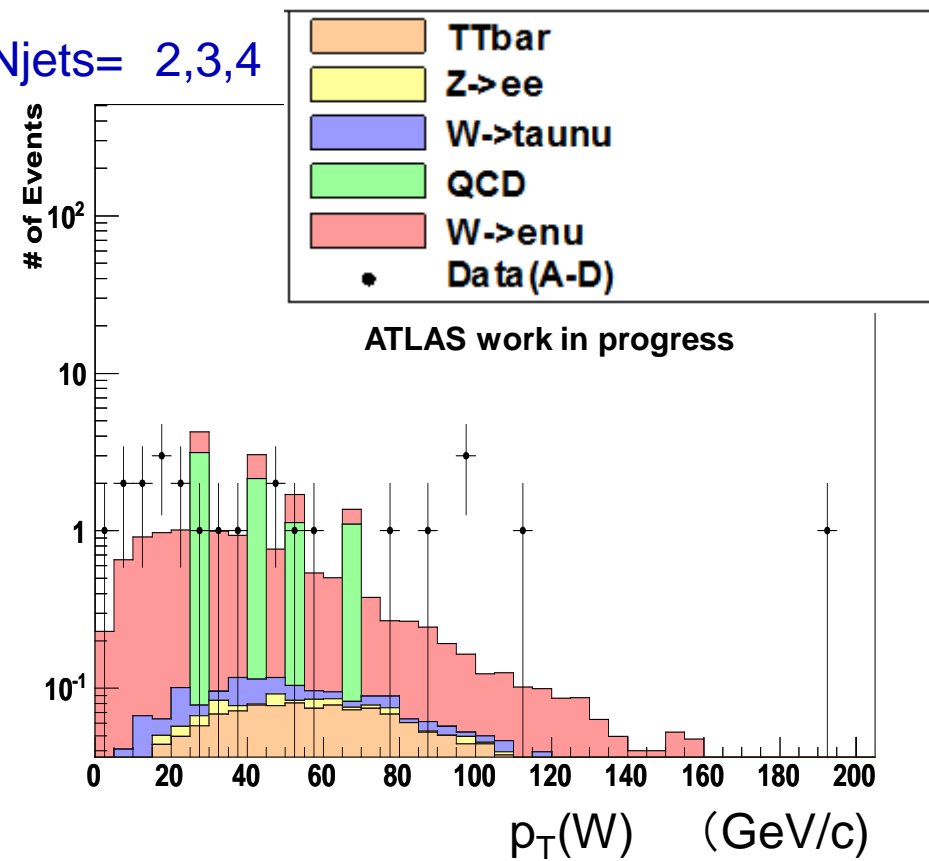
2nd leading jet の p_T 分布は統計が必要。

$p_T(W)$ 分布 – Jet数別

Njets=1,2,3,4



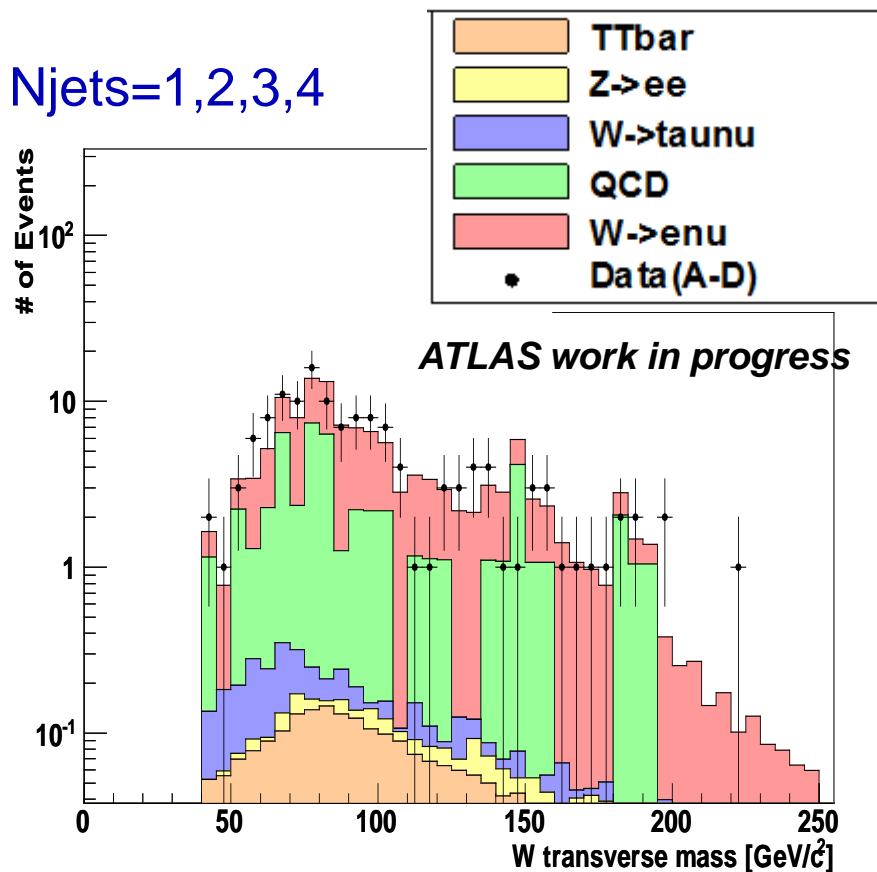
Njets= 2,3,4



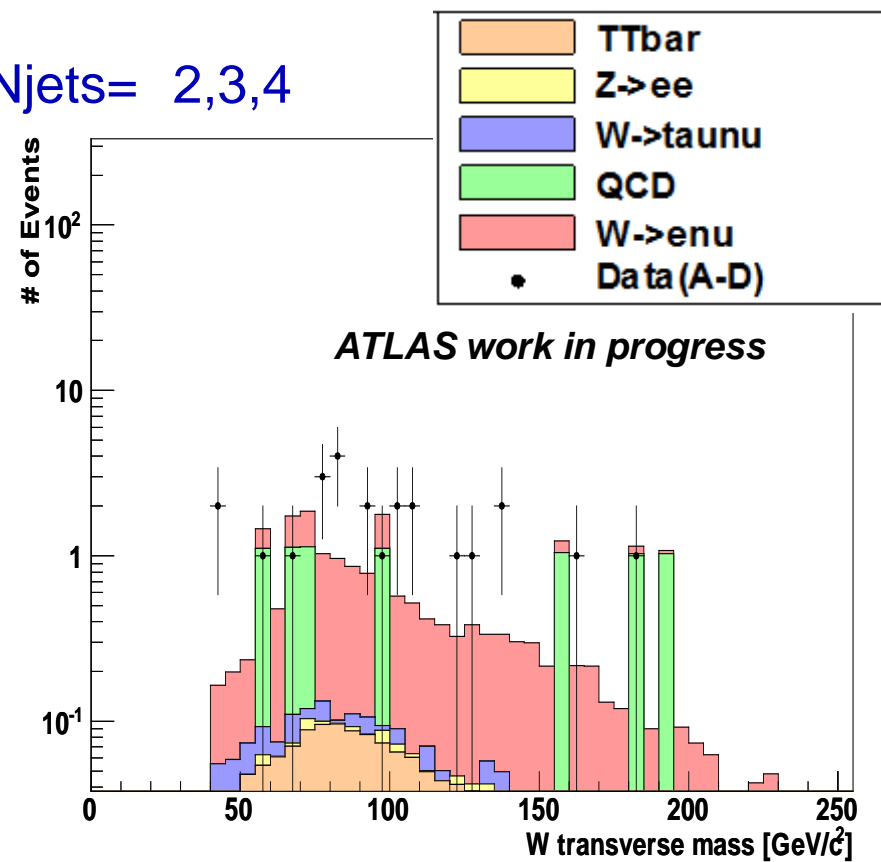
統計の範囲内で、一致は良い

$M_T(W)$ 分布 – Jet数別

Njets=1,2,3,4

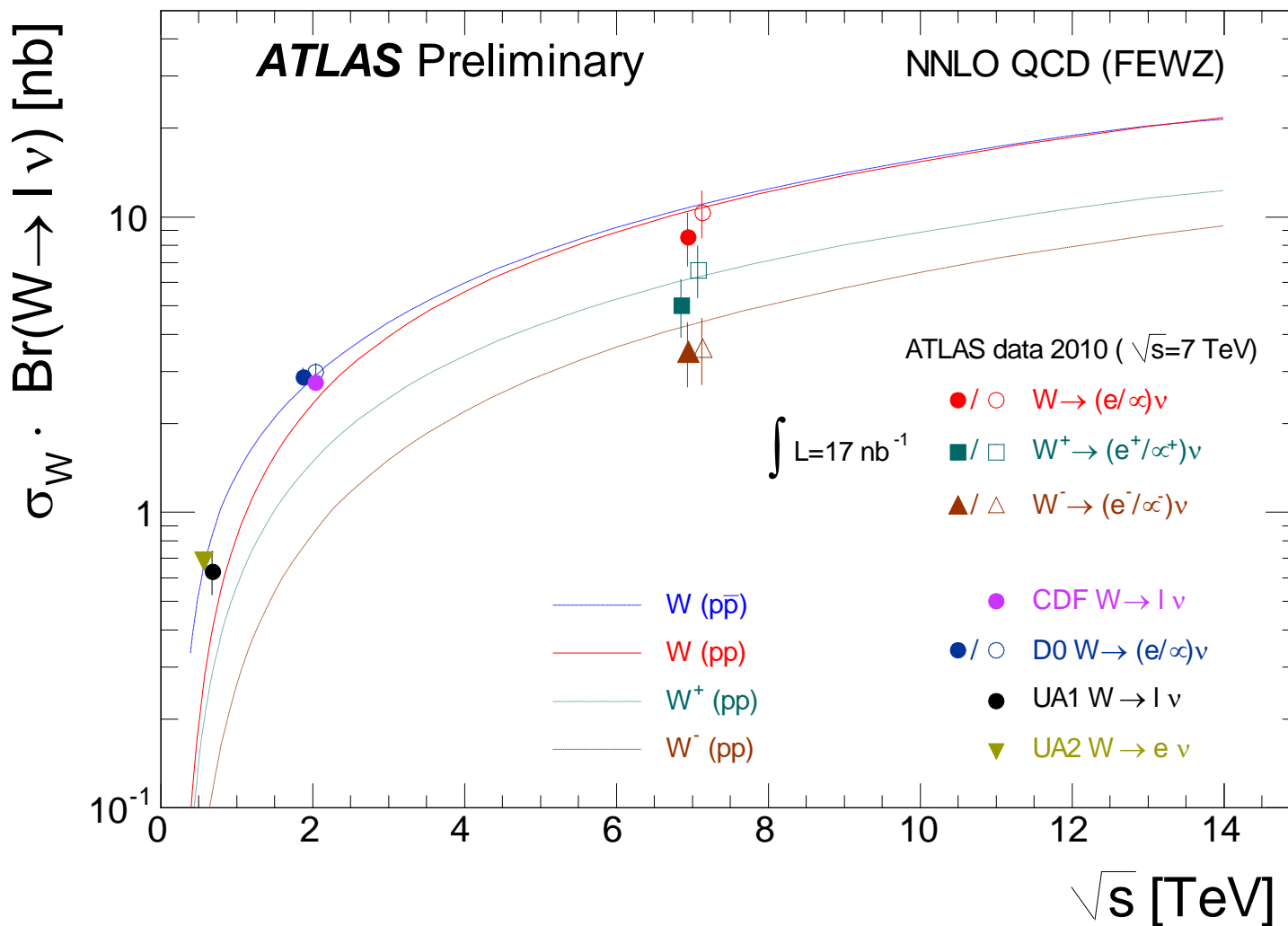


Njets= 2,3,4



統計の範囲内で、一致は良い

W cross section (ATLAS preliminary)



W 断面積(charge毎でも)は、NNLO計算と一致

まとめ、今後

まとめ

- ・ 重心系エネルギー 7 TeV、積分ルミノシティ 315.4 nb^{-1} のデータと MC サンプルの比較を行った。
- ・ データと MC ($\text{W} = \text{ALPGEN}$) で一定の一致が得られた。
- ・ $N_{\text{jet}} >= 2$ での統計数はまだ乏しい。

今後

- ・ pileup (Luminosityに依存) の影響の評価
- ・ QCD normalization の方法を検討
 - ⇒ Jet数ごとの W cross section の測定
 - ⇒ $N_{\text{jet}} >= 2$ の統計数を増やし、ほかの Generator も含めて詳細な kinematics 分布の比較
 - ⇒ トップ測定のための background 評価

Backup

ジェットの定義

- **AntiKt4H1TopoJets**
- **Jet energy** : (**EM scale jet energy**) \times (**jet energy scale**)
- **EM scale の eta, phi を使用。**
- $|\text{eta}| < 2.8$
- $p_T > 20 \text{ GeV}/c$
- **Jet cleaning**
 - 以下の “bad jet” と “ugly jet” はジェットとして数えない。
 - **bad jet**
 - $n90 \leq 5 \&& \text{HEC fraction} > 0.8$
 - $|\text{jet quality}| > 0.8 \&& \text{emf} > 0.95$
 - $|\text{jet timing}| \geq 50 \text{ ns}$
 - **ugly jet**
 - **TileGap3 energy fraction** > 0.5
 - **Energy fraction in dead cells and receiving a large corrections:**
BCH_CORR_CELL > 0.5

Jet Cleaning Parameters

- n_{90}
 - the number of energy-ordered cells accounting for at least 90% of the jet energy
- f_{HEC}
 - jet-energy fraction in the HEC calorimeter
- f_{EM}
 - jet-energy fraction in the EM calorimeter
- $f_{quality}$
 - the fraction of jet energy from bad-quality calorimeter cells
- t_{jet}
 - jet timing
- f_{cor}
 - the fraction of the electromagnetic scale jet energy from cells within the jet which are included within in the list of problematic cells in the detector data-base, which are either dead or masked
- f_{TG3}
 - the fraction of jet energy in the gap scintillators known as the TileGap3 layer